Gouvernement du Québec
Ministère de l'Énergie et des Ressources
Direction générale de l'exploration géologique et minérale

## LÉGENDE*

### Ordovicien

| | |
|---|---|
| S7 | Calcaire fossilifère |

### Protérozoique

| | |
|---|---|
| I3B | Diabase |
| I3M | Diabase à olivine |

### Archéen

#### Roches intrusives

| | |
|---|---|
| I1DOR | Intrusion felsique à phénocristaux d'orthose |
| I1DQZ,FP | Intrusion felsique à phénocristaux de quartz et feldspath |
| I1B | Granite |
| I1BD | Granite porphyrique |
| I1C | Granodiorite |
| I1CD | Granodiorite porphyrique |
| I1CDFP | Granodiorite à phénocristaux de feldspath |
| I1D | Tonalite |
| I1DDFP | Intrusion tonalitique à porphyre de feldspath |
| I1DMG | Intrusion tonalitique à magnétite |
| I2C | Syénite quartzifère |
| I2D | Syénite |
| I2E | Monzonite quartzifère |
| I2EDFP | Monzonite quartzifère à phénocristaux de feldspath |
| I2F | Monzonite |
| I2H | Monzodiorite |
| I2I | Diorite quartzifère |
| I2IDQZ,BO | Diorite quartzifère porphyrique à phénocristaux de quartz et biotite |
| I2J | Diorite |
| I3A | Gabbro |
| I3ADPG | Gabbro à phénocristaux de plagioclase |
| I3E | Gabbro quartzifère |
| I3G | Anorthosite |
| I3I | Gabbro anorthositique |
| I4A | Hornblendite |
| I4B | Pyroxénite |
| I4Q | Carbonatite |

#### Roches sédimentaires

| | |
|---|---|
| S | Roches sédimentaires indifférenciées |
| SGP | Métasédiments graphiteux |
| S1 | Grès |
| S1# | Grès fracturé |
| S2C | Arkose |
| S3 | Wacke |
| S3CGP | Arkose graphiteuse |

#### Roches sédimentaires (suite)

| | |
|---|---|
| S4D | Conglomérat polygénique |
| S6A | Siltonte |
| S6A,GP | Siltonte graphiteux |
| S6G | Argilite |
| S6H | Shale |
| S9B | Formation de fer oxydée |

#### Roches métamorphiques

| | |
|---|---|
| M4 | Paragneiss |
| M8,SR | Schiste à séricite |
| M8,AM | Schiste à amphibole |
| M12 | Quartzite |

#### Roches pyroclastiques

| | |
|---|---|
| V1 | Brèche pyroclastique felsique |
| V1 | Tuf felsique |
| V1b | Tuf felsique à blocs |
| V1 | Tuf felsique à lapillis |
| V1b | Tuf felsique à lapillis et à blocs |
| V1C | Tuf rhyodacitique |
| V1x | Tuf felsique à cristaux |
| V2 | Tuf intermédiaire |
| V2bi | Tuf intermédiaire à blocs et lapillis |
| V2 | Tuf intermédiaire à lapillis |
| V2b | Tuf intermédiaire à lapillis et à blocs |
| V2x | Tuf intermédiaire à cristaux |
| V2J | Tuf andésitique à lapillis |
| V2Jb | Tuf andésitique à lapillis et à blocs |

#### Roches effusives

| | |
|---|---|
| V1 | Volcanite felsique indifférenciée |
| V1DQZ,FP | Volcanite felsique indifférenciée à phénocristaux de quartz et feldspath |
| V1B | Rhyolite |
| V1C | Rhyodacite |
| V1CDPG | Rhyodacite à phénocristaux de plagioclase |
| V1D | Dacite |
| V1D | Dacite à lapillis |
| V2 | Volcanite intermédiaire indifférenciée |
| V2J | Andésite |
| V3 | Roches volcaniques mafiques |
| V3A | Brèche de coulée mafique |
| V3B | Basalte |
| V3B,MG | Basalte à magnétite |
| V3BDPG | Basalte à phénocristaux de plagioclase |
| V3F | Basalte magnésien |

*Symbologie tirée de la légende générale de la carte géologique (MB 87-11).

## TABLEAU 1 - INDICES MINÉRALISÉS (par canton)

### CURRIE

1 0,19 % Zn (éch. choisi); 4,1 g/t Au;0,6 m
2 2,55 % Zn, 0,15 % Cu/1,5 m
3 1,93 % Zn/1,3 m; 0,58 % Zn/13,4 m; 0,64 % Zn/10 m; 1,2 % Zn/4,1 m
4 0,40 % Zn, 0,09 % Cu (éch. choisi)
5 0,92 % Zn/0,6 m
6 1,25 % Zn /1,5 m
7 0,23 % Cu/1 m
8 1,38 g/t Au 0,65 m
9 3,09 g/t Au/1 m
10 0,14 % Cu (éch. choisi)
11 1,84 g/t Au/1,42 m
12 1,59 % Cu/0,3 m
13 0,14 % Zn/3 m
14 0,5 % Cu/0,2 m
15 25 % Po/1,3 m (0,05 % Zn -0,8 m)
16 0,12 % Zn/1 m (1,1 g/t Au/1 m)
17 0,10 % Zn/4,5 m
18 0,10 % Zn/1,5 m
19 0,24 % Zn/3 m
20 0,10 % Zn/1 m
21 0,09 % Zn/0,8 m
22 0,30 % Zn, 0,29 % Co (éch. choisi)
23 7,3 % Py massive, 0,07 % Zn/1 m
24 0,60 % Zn/1 m
25 40 % Pro/3,5 m
26 50 % Pro/3 m
27 0,22 % Zn/2 m
28 90-95 % Py/30,9 m
29 0,15 % Zn, 0,13 % Cu (éch. choisi)
30 0,10 % Cu/7,6 m (28 % Fe/12 m)
31 2,34 % Cu/0,30 m
32 81,39 g/t Au (éch. choisi)
33 1,6 g/t Au (éch. choisi)
34 2,1 g/t Au/0,3 m
35 3,1 g/t Au (éch. choisi)
36 8,4 g/t Au (éch. choisi)
37 1,4 g/t Au/0,91 m
38 1,3 g/t Au/1,7 m
39 1,51 g/t Au (éch. choisi)
40 0,10 % Zn/1,2 m
41 0,30 % Zn/1,4 m
42 5,73 g/t Au/0,83 m

### GREVET

1 1,68 g/t Au/1,16 m
2 7,1 g/t Au/0,5 m
3 0,16 % Zn/1,5 m
4 0,13 % Zn/3 m
5 1,7 g/t Au/1,5 m
6 0,69 % Zn/0,3 m
7 0,13 % Zn/1,5 m
8 3,5 g/t Au/1 m
9 4,00 % La + Ce (éch. choisi)
10 0,05 - 0,12 % La + Ce (éch. choisi)
11 1,12 % Zn/3,05 m
12 1,54 % Zn/15,24 m
13 0,12 % Ce, 0,08 % Zn, 0,05 % Ni (éch. choisi)
14 14 g/t Au, 0,14 % Cu (éch. choisi)
15 0,58 % Zn/1,52 m
16 0,20 % Zn/1,5 m
17 0,20 % Zn/1,5 m
18 0,20 % Zn/1,2 m (9,5 m de serpentine)
19 80 % Po/1,3 m
20 0,36 % Zn/2,35 m
21 0,27 % Zn/1,4 m
22 0,10 % Zn/1,3 m
23 0,1 % Zn/1 m

### DUPLESSIS

1 2,5 g/t Au (éch. choisi)
2 2,15 g/t Au/0,25 m
3 2,72 g/t Au/0,25 m
4 3,28 g/t Au/0,37 m
5 2,1 % Zn/1,8 m
6 1,44 g/t Au (circulation inversée)
7 0,13 % Zn/0,75 m
8 0,30 % Zn/1,5 m
9 0,15 % Zn/0,42 m
10 0,32 % Zn (éch. choisi)
11 0,25 % Zn, 1,3 g/t Au (éch. choisi)
12 1,31 g/t Au/0,7 m
13 17 ppb Pt, 110 ppb Pd (éch. choisi)
14 0,35 % Zn/4,2 m
15 0,35 % Zn/3 m
16 0,10 % Zn/1,5 m
17 1,05 g/t Au/1,48 m
18 2 g/t Au/1,5 m
19 0,11 % Zn/0,8 m
20 0,12 % Zn/1,24 m
21 0,09 % Cu/0,4 m
22 0,69 % Cu, 0,52 % Zn (éch. choisi)
23 0,09 % Zn/1 m
24 1,97 Au (éch. choisi)
25 145 ppb Pd (éch. choisi)
26 11 g/t Au/1,1 m
27 0,13 % Zn (éch. choisi)
28 171 ppb Pd, 70 ppb Pt, 50 ppb Rh (éch. choisi)
29 1,34 g/t Au/0,84 m
30 4,4 g/t Au/1,1 m
31 3,15 g/t Au/0,9 m
32 1,85 g/t Au/0,9 m
33 0,12 % Zn/1,26 m
34 0,17 % Cu (éch. choisi)
35 0,90 % Zn/1,55 m
36 0,32 % Cu (éch. choisi)
37 62,7 g/t Au (éch. choisi)
38 2,4 g/t Au/1,2 m
39 3,4 g/t Au (éch. choisi)

### MOUNTAIN

1 2 g/t Au/1,6 m
2 0,10 % Zn/1 m
3 0,16 % Zn/1,1 m
4 5 % Po-Py/21 m
5 4,08 % Zn, 0,36 % Cu/0,6 m; 0,64 % Cu, 12,4 g/t Ag/4,35 m
6 26 % Po - 32 % Py/1,3 m
7 64 % Py/0,71 m
8 15 % Py/0,5 m
9 1,03 % Cu, 1,40 % Ni, 8,23 g/t Ag/0,3 m
10 0,13 % Cu (éch. choisi)
11 30 % Po - 50 % Py/0,6 m
12 30 % Po - 10 % Py/1 m
13 35 % Po - 10 % Py/1 m
14 70 % Po-Py/0,6 m
15 35 % Py - 2 % Po/1,8 m
16 30 % Py/0,5 m
17 42 % Po/1,3 m; 28 % Po-Py ± Sp/0,9 m; 24 % Py ± Sp/2,4 m
18 65 % Py/1,4 m
19 30 % Po ± Cp ± Bn/0,5 m
20 28 % Py-Po/4,4 m
21 35 % Py-Po/0,7 m
22 181 ppb Pd (éch. choisi)

### BOSSÉ

1 1 970 000 t à 24-25 % Fe
2 730 000 t à 32-36 % Fe
3 12 000 000 t à 20-25% Fe

### NELLIGAN

1 0,18 % Cu (éch. choisi)
2 0,93 %, Zn, 0,85 % Cu (éch. choisi)
3 6,9 g/t Au (éch. choisi)
4 0,28 % Zn/1,8 m

### BENOIST

1 0,37 % Zn (éch. choisi)
2 0,14 % Zn/2,8 m
3 0,69 % Zn/0,76 m
4 4,8 g/t Au (éch. choisi)

### RUETTE

1 0,15 % Cu (éch. choisi)
2 0,32 % Cu/1,4 m
3 3,8 g/t Au; 579,33 g/t Au (échs. choisis)
4 47,99 g/t Au (éch. choisi)
5 188 g/t Au (éch. choisi)

### LE SUEUR

1 0,27 % Zn/1,53 m

### BOYVINET

1 1,5 g/t Au/1 m
2 2,59 g/t Au (éch. choisi)
3 3,13 g/t Au (éch. choisi)

### LESPÉRANCE

1 3,28 % Cu, 12,9 g/t Ag/0,70 m; 0,84 % Cu, 3,6 g/t Ag/0,90 m; 0,89 % Cu, 3 g/t Ag/1,10 m

### GAND

1 2,60 g/t Au/4,12 m; 12,30 g/t Ag, 1,50 % Cu, 1,80 % Zn/0,62 m; 1,94 g/t Au/3,4 m
2 1,51 g/t Au/0,47 m
3 24,3 g/t Au (éch. choisi)
4 4,40 g/t Au (éch. choisi); 2,20 g/t Au/0,50 m; 2,40 g/t Au/0,60 m

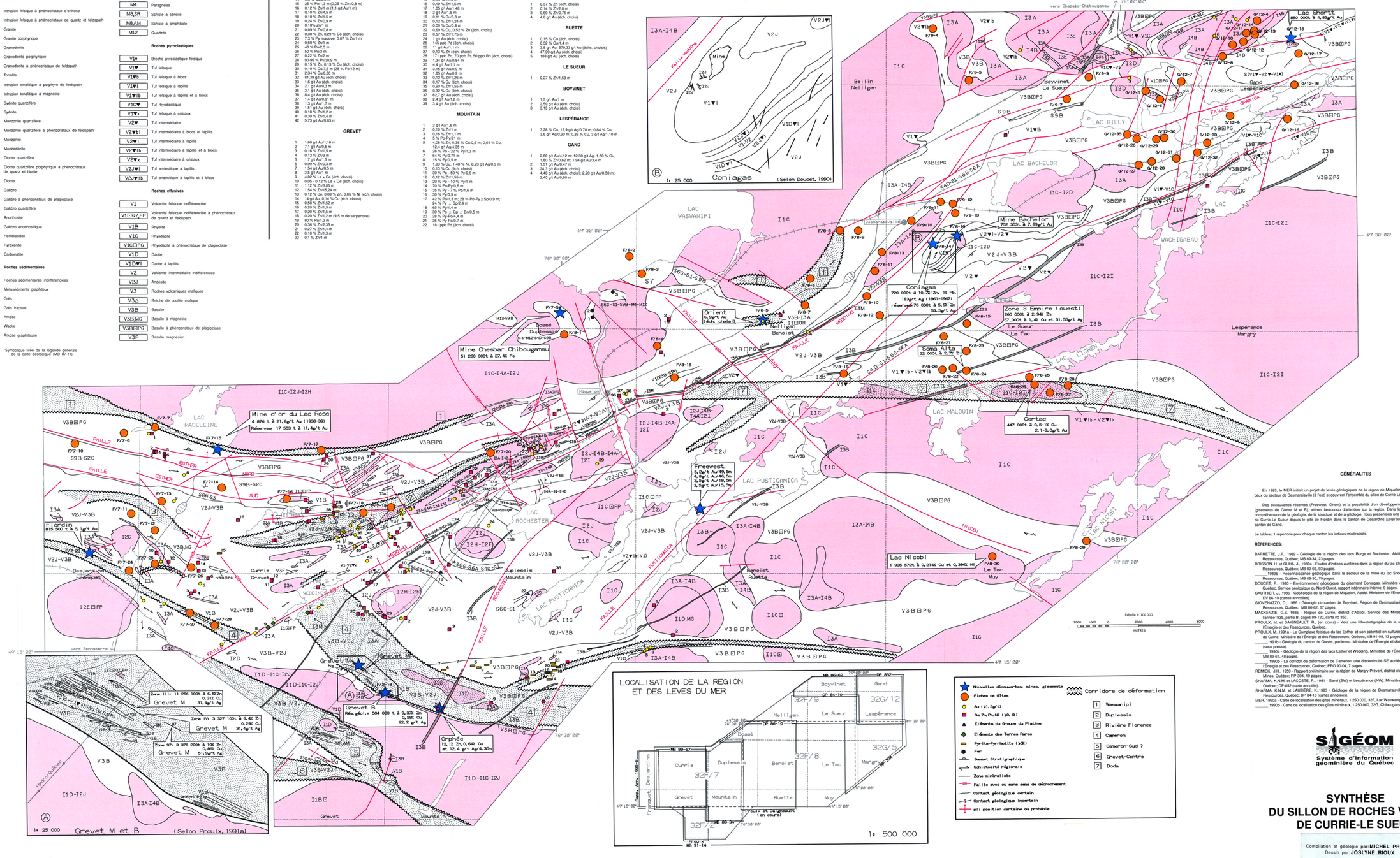


## GÉNÉRALITÉS

En 1985, le MER initiait un projet de levés géologiques de la région de Miquelon. Les levés réalisés font suite à ceux du secteur de Desmaraisville (à l'est) et couvrent l'ensemble du sillon de Currie-Le Sueur.

Des découvertes récentes (Freewest, Orient) et la possibilité d'un développement d'un nouveau district minier (gisements de Grevet M et B), attirent beaucoup d'attention sur la région. Dans le but de favoriser une meilleure compréhension de la géologie, de la structure et de la géologie, nous présentons une carte synthèse couvrant le sillon de Currie-Le Sueur depuis le gîte de Floridin dans le canton de Desjardins jusqu'au gisement du lac Shortt dans le canton de Gand.

Le tableau 1 répertorie pour chaque canton les indices minéralisés.

## RÉFÉRENCES:

BARRETTE, J.P., 1989 - Géologie de la région des lacs Burge et Rochester, Abitibi. Ministère de l'Énergie et des Ressources, Québec; MB 89-34, 23 pages.
BRISSON, H. et GUHA, J., 1989a - Études d'indices aurifères dans la région du lac Shortt. Ministère de l'Énergie et des Ressources, Québec; MB 89-66, 93 pages.
_____1989b - Reconnaissance géologique dans le secteur de la mine du lac Shortt. Ministère de l'Énergie et des Ressources, Québec; MB 89-30, 70 pages.
DOUCET, P., 1990 - Environnement géologique du gisement Coniagas. Ministère de l'Énergie et des Ressources, Québec, Service géologique du Nord-Ouest, rapport intérimaire interne, 9 pages.
GAUTHIER, J., 1986 - O2ôlologie de la région de Miquelon, Abitibi. Ministère de l'Énergie et des Ressources, Québec; DV 86-10 (cartes annotées).
GIOVENAZZO, D., 1986 - Géologie du canton de Boyvinet, Région de Desmaraisville. Ministère de l'Énergie et des Ressources, Québec; MB 86-62, 67 pages.
MACKENZIE, G.S. 1935 - Région de Currie, district d'Abitibi. Service des Mines, Québec; rapport annuel pour l'année1935, partie B, pages 89-120, carte no 353.
PROULX, M. et DAIGNEAULT, R., (en cours) - Vers une lithostratigraphie de la région de Miquelon. Ministère de l'Énergie et des Ressources, Québec.
PROULX, M., 1991a - Le Complexe felsique du lac Esther et son potentiel en sulfures massifs volcanogènes - Canton de Currie. Ministère de l'Énergie et des Ressources; Québec; MB 91-08, 13 pages.
_____1991b - Géologie du canton de Grevet, partie est. Ministère de l'Énergie et des Ressources; Québec, MB 91-14 (sous presse).
_____1990a - Géologie de la région des lacs Esther et Wedding. Ministère de l'Énergie et des Ressources, Québec; MB 89-67, 48 pages.
_____1990b - Le corridor de déformation de Cameron: une discontinuité SE aurifère et polymétallique. Ministère de l'Énergie et des Ressources, Québec; PRO 90-04, 7 pages.
REMICK, J.H., 1959 - Rapport préliminaire sur la région de Margry-Prévert, district électoral d'Abitibi-Est. Ministère des Mines, Québec; RP-394, 19 pages.
SHARMA, K.N.M. et LACOSTE, P., 1981 - Gand (SW) et Lespérance (NW). Ministère de l'Énergie et des Ressources, Québec; DP-852 (carte annotée).
SHARMA, K.N.M. et LAUZIÈRE, K.,1983 - Géologie de la région de Desmaraisville. Ministère de l'Énergie et des Ressources, Québec; DP 84-10 (cartes annotées).
MER, 1990a - Carte de localisation des gîtes minéraux, 1:250 000, 32F, Lac Waswanipi.
_____1990b - Carte de localisation des gîtes minéraux, 1:250 000, 32G, Chibougamau.

# SYNTHÈSE DU SILLON DE ROCHES VERTES DE CURRIE-LE SUEUR

Compilation et géologie par: **MICHEL PROULX**
Dessin par: **JOSLYNE RIOUX**

**SIG 91-01**
**Carte no 2155**

Les valeurs indiquées au tableau 1 proviennent des travaux statutaires et des rapports du MER.